

۱۳۹۱/۰۹/۰۷  
۱۲۵



دانشگاه صنعتی ساری و بلوچستان

تحصیلات تکمیلی

پایان نامه کارشناسی ارشد مهندسی شیمی گرایش جداسازی

عنوان:

بررسی پارامترهای افت فشار و طغیان در برج  
تقطیر با سینی مخروطی چرخان SCC بوسیله  
آنالیز CFD در مقیاس پایلوت

استاد راهنما:

دکتر مرتضی زیودار

استاد مشاور:

دکتر رهبر رحیمی

دانشگاه صنعتی ساری و بلوچستان

۱۳۸۷/۱۰/۲۱

تحقیق و نگارش:

ایمان خنشا

(این پایان نامه از حمایت مالی معاونت پژوهشی دانشگاه سیستان و بلوچستان بهره مند شده است)

آبان ماه ۱۳۸۷

۱۰۸۶۸۷

## بسمه تعالیٰ

این پایان نامه با عنوان برسی پارامترهای افت فشار و طغیان در برج سینی دار مخروطی چرخان SCC بوسیله آنالیز CFD در مقیاس پایلوت قسمتی از برنامه آموزشی دوره کارشناسی ارشد مهندسی شیمی توسط دانشجو ایمان خنثا تحت راهنمایی استاد پایان نامه دکتر مرتضی زیودار تهیه شده است. استفاده از مطالب آن به منظور اهداف آموزشی با ذکر مرجع و اطلاع کتبی به حوزه تحصیلات تكمیلی دانشگاه سیستان و بلوچستان مجاز می باشد.

(نام و امضاء دانشجو)

این پایان نامه ۸ واحد درسی شناخته می شود و در تاریخ ۸۷/۸/۳۰ توسط هیئت داوران بررسی و درجه **کمال** به آن تعلق گرفت.

تاریخ

امضاء

نام و نام خانوادگی

دکتر مرتضی زیودار

استاد راهنما:

استاد مشاور:

داور ۱:

داور ۲:

نماینده تحصیلات تکمیلی:

دکتر سعید توکلی



دانشگاه سیستان و بلوچستان

### تعهدنامه اصالت اثر

اینجانب ایمان خنشا تأیید می کنم که مطالب مندرج در این پایان نامه حاصل کار پژوهشی اینجانب است و به دستاوردهای پژوهشی دیگران که در این نوشه از آن استفاده شده است مطابق مقررات ارجاع گردیده است. این پایان نامه پیش از این برای احراز هیچ مدرک هم سطح یا بالاتر ارائه نشده است.

کلیه حقوق مادی و معنوی این اثر متعلق به دانشگاه سیستان و بلوچستان می باشد.

نام و نام خانوادگی دانشجو: ایمان خنشا

امضاء

این اثر ناچیز را تقدیم می کنم به:

پیشگاه مظہر و ملکوتی منحی عالم شریعت

حضرت بقیه الله الا عظم

روحی و روحنا العالمین للفداء

## سپاسگزاری

با حمد و سپاس فراوان به درگاه خداوند متعال که از دریای رحمت بی کران خویش به ما توان کسب علم و معرفت را عنایت فرمود. ولیکن هر چه بیشتر در این اقیانوس بی انتهای علم خداوندی پیش برویم، بیش از پیش به ضعف و جهالت خویش در پیشگاه پروردگار بی نیاز پی خواهیم برد. امید است که بتوانیم با تلاش و پشتکار خویش و استعانت از درگاه ایزد منان و خاندان پاک مخصوصین (علیهم السلام)، ایران اسلامی را به قله های علم و نوآوری و شکوفایی برسانیم.

اکنون که به لطف و یاری خداوند متعال تحقیق و نگارش این پایان نامه را به اتمام رسیده است، بر خود لازم می دانم که از همه دوستان و عزیزانی که مرا در تهیه این تحقیق یاری داده اند کمال تشکر و قدردانی را بجا آورم. از استاد گرانقدر دکتر زیودار که راهنمایی این پروژه را به عهده داشتند مراتب تشکر و قدردانی را بجا می آورم. همچنین از استاد گرامی دکتر رهبر رحیمی که در انجام این پایان نامه مشاور بند بوده اند، تشکر و قدردانی می نمایم.

از دکتر مسعود حق شناس فرد که در انجام این پروژه مرا یاری کرده اند تشکر و قدردانی می نمایم. از دوستان عزیز شیروان شیردل، طالب زارعی، علی ولی پور، سید حسین حسینی، اسلام کاشی که در انجام این تحقیق مرا را یاری کرده اند بسیار تشکر و قدردانی می کنم. از خداوند متعال برای همه این عزیزان توفیق موفقیت و سربلندی را مسئلت می کنم.

ایمان خنsha  
آبان ماه ۱۳۸۷

## چکیده:

برج های SCC یکی از انواع برج های تقطیر سینی دار است که در صنایع غذایی کاربرد زیادی دارند. در کار حاضر از دینامیک سیالات محاسباتی (CFD) جهت آنالیز افت فشار و طغیان برج SCC استفاده شده است. در این پژوهه برای اولین بار در ایران پارامترهای افت فشار و طغیان در مقیاس پایلوت بررسی شده است. در حالت خشک و دو فازی جریان گاز و مایع را آشفته در نظر گرفته می شود. برای بیان آشفتگی در فاز گاز از مدل استاندارد  $k-E$  و برای تحلیل آشفتگی در فاز پراکنده مایع از مدل صفر معادله ای استفاده شده است. در کار حاضر از مش های هرمی، چهار وجهی و منشوری استفاده شده است، ساختار مش از نوع نامنظم می باشد و در مش با اندازه ۵ میلی متر، تغییرات هیدرودینامیکی مستقل از سایز مش می شود. تعداد کل مش های استفاده شده برابر ۵۷۸۲۴۹ می باشد. معادلات در دمای ثابت ۲۵ درجه سانتی گراد بررسی شده و برای مدل سازی نیروی پسا از مدل Grace استفاده شده است. مدل سازی و حل معادلات در حالت پایا می باشد. در مدل سازی بوسیله CFD بر پایه دیدگاه اویلری سیستم جریان به صورت دو فاز گاز پیوسته و مایع پراکنده در نظر گرفته شده است. محاسبات برای حالت خشک و دوفازی در سرعت های چرخشی ۱۰۰۰، ۱۵۰۰ و ۵۰۰ دور بر دقیقه بررسی شده اند. نتایج حاصل از CFD نشان می دهد که با افزایش سرعت چرخشی و افزایش دبی هوا در شدت جریان مشخص گاز و مایع، افت فشار در هر دو حالت خشک و دو فازی افزایش می یابد که این موضوع با نتایج تجربی مطابقت دارد. در واقع با افزایش سرعت چرخشی میزان مکش در هر مرحله از برج افزایش می یابد و افزایش مکش خود منجر به افزایش اختلاف فشار در هر مرحله و نهایتا باعث افزایش افت فشار در کل برج می شود. همچنین با افزایش شدت جریان گاز، اثر نیروی جاذبه بر روی فاز مایع پراکنده کمتر شده و باعث بالا بردن فاز مایع می شود که این امر باعث افزایش گرفتگی در گلوگاه های جریان و در نتیجه افزایش افت فشار سیستم می شود. در این زمینه میزان متوسط خطای نسبی محاسبه شده بین مقادیر CFD و نتایج تجربی در سرعت چرخشی ۱۰۰۰ دور بر دقیقه، در مورد افت فشار خشک، دو فازی و طغیان بترتیب ۱۵، ۲۰ و ۱۶ درصد می باشد. از نتایج این تحقیق می توان در تخمین پارامتر های افت فشار، طغیان، راندمان برج و طراحی قطر برج SCC استفاده کرد.

کلمات کلیدی: برج سینی دارمکروطی چرخان (SCC)، افت فشار خشک، افت فشار دو فازی، طغیان.

## فهرست مطالب

عنوان	
صفحه	
<b>فصل اول: مقدمه ای بر برج های سینی دار مخروطی چرخان Spinning Cone</b>	
۱	.....Columns
۲	.....۱-۱- مقدمه
۲	.....۱-۲- کاربردهای برج SCC
۳	.....۱-۳- بررسی جریان گاز و مایع
۵	.....۱-۴- تاریخچه
۶	.....۱-۵- مروری بر پژوهش های انجام شده در زمینه آنالیز CFD برج های SCC
۹	.....۱-۶- مکانیزم های فیزیکی جریان گاز و مایع در برج SCC
۱۰	.....۱-۷- رژیم جریان
۱۰	.....۱-۷-۱- رژیم جریان pre loading
۱۰	.....۱-۷-۲- رژیم جریان loading
۱۱	.....۱-۷-۳- رژیم جریان flooding
۱۲	.....۱-۸- افت فشار
۱۳	.....۱-۹- بررسی اثر چرخش بر افت فشار
۱۴	.....۱-۱۰- نمودارهای (Sherwood-Leva-Eckert)SLE
۱۸	.....۱-۱۱- تعیین الگوی جریان
۱۹	.....۱-۱۲- نتیجه گیری
۲۱	<b>فصل دوم: دینامیک سیالات محاسباتی</b>
۲۲	.....۲-۱- مقدمه
۲۲	.....۲-۲- مقدمه ای بر دینامیک سیالات محاسباتی
۲۳	.....۲-۳- روش های حل در دینامیک سیالات محاسباتی
۲۶	.....۲-۴- مروری بر نرم افزار CFX
۲۸	.....۲-۵-۱- معادلات حاکم بر جریان سیال
۲۸	.....۲-۵-۲- معادلات حاکم بر جریان سیال در حالت یک فازی
۲۹	.....۲-۵-۳- معادلات حاکم بر جریان سیال در حالت دو فازی

۳۲	..... ۳-۵-۲ مدل های جریان آشفته.
۳۴	..... ۴-۵-۲ مدل های نیروی پسا.
۳۶	..... ۶-۲ بررسی الگوریتم حل فشار.
۳۸	..... ۷-۲ نتیجه گیری.
۳۹	..... <b>فصل سوم: مدلسازی سیستم با استفاده از آنالیز CFD</b>
۴۰	..... ۱-۳ مقدمه.
۴۰	..... ۲-۳ تعیین الگوی جریان.
۴۱	..... ۳-۳ فرضیات حاکم بر سیستم.
۴۲	..... ۴-۳ معادلات حاکم بر سیستم.
۴۲	..... ۵-۳ مراحل مدلسازی.
۴۳	..... ۱-۵-۳ تولید هندسه مدل.
۴۴	..... ۲-۵-۳ شبکه بندي مدل.
۴۷	..... ۳-۵-۳ شرایط مرزی.
۴۷	..... ۱-۳-۵-۳ شرایط مرزی مورد استفاده برای تحلیل افت فشار خشک.
۴۸	..... ۲-۳-۵-۳ شرایط مرزی مورد استفاده برای تحلیل افت فشار دو فازی.
۵۱	..... ۶-۳ بخش محاسبه گر.
۵۱	..... ۶-۳ نتیجه گیری.
۵۳	..... <b>فصل چهارم: بررسی نتایج</b>
۵۴	..... ۱-۴ مقدمه.
۵۴	..... ۲-۴ تحلیل نتایج حاصل از آنالیز CFD جهت محاسبه افت فشار خشک و دو فازی.
۵۵	..... ۱-۲-۴ تحلیل نتایج حاصل از آنالیز CFD جهت محاسبه افت فشار خشک.
۶۱	..... ۲-۲-۴ تحلیل نتایج حاصل از آنالیز CFD جهت محاسبه افت فشار دوفازی.
۷۴	..... ۳-۴ تحلیل نتایج نتایج حاصل از آنالیز CFD جهت محاسبه پارامتر طغیان.
۸۱	..... ۴-۴ نتیجه گیری.
۸۲	..... <b>فصل پنجم: بحث و نتیجه گیری</b>
۸۳	..... ۱-۵ نتیجه گیری کلی.
۸۴	..... ۲-۵ پیشنهادات.
۸۵	..... <b>مراجع</b>
۸۷	..... <b>پیوست ها</b>
۸۸	..... پیوست (الف) - معادلات ناویر استوکس.
۹۱	..... پیوست (ب) - کدهای مربوط به داده های خروجی نرم افزار CFX.
۱۳۶	..... پیوست (ج) - محاسبه فشار.
۱۳۸	..... پیوست (د) - چکیده مقالات.

## فهرست جدول ها

عنوان جدول	صفحة
جدول ۱-۱. مقادیر پارامترهای هندسی در مقیاس پایلوت.....	۱۷
جدول ۱-۴. محاسبات افت فشار خشک از طریق CFD در سرعت چرخش ۱۰۰۰ rpm.....	۵۷
جدول ۲-۴. محاسبات خطای نسبی بین داده های تجربی و CFD برای افت فشار خشک.....	۵۹
جدول ۳-۴. نتایج تغییرات افت فشار خشک در سرعت های چرخش مختلف.....	۶۰
جدول ۴-۴. محاسبات افت فشار دو فازی در شدت جریان مایع (kg/min) ۰/۶ سرعت چرخش ۱۰۰۰ rpm بوسیله CFD.....	۶۷
جدول ۴-۵. محاسبات خطای نسبی بین داده های تجربی و CFD برای افت فشار دو فازی در شدت جریان مایع ۰/۶ کیلوگرم بر دقیقه و سرعت چرخش ۱۰۰۰ rpm.....	۶۷
جدول ۴-۶. محاسبات افت فشار دو فازی در شدت جریان مایع ۰/۹ کیلو گرم بر دقیقه و سرعت چرخش ۱۰۰۰ rpm از طریق CFD.....	۶۹
جدول ۴-۷. محاسبات خطای نسبی بین داده های تجربی و CFD برای افت فشار دو فازی در شدت جریان مایع ۰/۹ کیلوگرم بر دقیقه و سرعت چرخش ۱۰۰۰ rpm.....	۷۰
جدول ۴-۸. محاسبات افت فشار دو فازی در شدت جریان مایع ۱/۵ کیلو گرم بر دقیقه و سرعت چرخش ۱۰۰۰ rpm از طریق CFD.....	۷۰
جدول ۴-۹. محاسبات خطای نسبی بین داده های تجربی و CFD برای افت فشار دو فازی در شدت جریان مایع ۱/۵ کیلوگرم بر دقیقه و سرعت چرخش ۱۰۰۰ rpm.....	۷۲
جدول ۱۰-۴. نتایج تغییرات افت فشار دوفازی با تغییر سرعت چرخش در شدت جریان مایع ۰/۹ کیلوگرم بر دقیقه .....	۷۳
جدول ۱۱-۴. محاسبات مربوط به نقاط طغیان در سرعت چرخش ۱۰۰۰ rpm .....	۷۵
جدول ۱۲-۴. محاسبه پارامتر جریان و پارامتر ظرفیت با استفاده از CFD در سرعت چرخش ۱۰۰۰ rpm .....	۷۸
جدول ۱۳-۴. محاسبات خطای نسبی بین داده های تجربی و CFD برای پارامتر ظرفیت در سرعت چرخش ۱۰۰۰ rpm در مقیاس پایلوت .....	۷۹

## فهرست شکل ها

عنوان شکل	صفحه
شکل ۱-۱. شمای کلی برج SCC و سینی های آن.....	۴
شکل ۱-۲. بخشی از مسیر جریان گاز و مایع در برج SCC .....	۴
شکل ۱-۳. مقایسه افت فشار خشک پیش بینی شده بوسیله CFD با مقادیر تجربی در سرعت چرخش های مختلف.....	۷
شکل ۱-۴. مقایسه داده های تجربی با داده های CFD در سرعت چرخشی $500\text{ rpm}$ .....	۸
شکل ۱-۵. نمایش سطح مقطع بحرانی جریان گاز و مایع.....	۱۱
شکل ۱-۶. مقایسه بین رژیم های جریان.....	۱۲
شکل ۱-۷. تغییرات افت فشار در شدت جریان های مختلف گاز و مایع.....	۱۳
شکل ۱-۸. تاثیر سرعت چرخش بر افت فشار.....	۱۴
شکل ۱-۹. منحنی طغیان برای برج SCC در مقیاس های متفاوت .....	۱۶
شکل ۱-۱۰. شمای هندسی یک مرحله از برج.....	۱۷
شکل ۱-۱۱. تعیین رژیم جریان بوسیله عدد رینولدز ترکیبی برای برج SCC .....	۱۹
شکل ۱-۱۲. مراحل حل در نرم افزار CFX .....	۲۷
شکل ۲-۱. دیدگاه اویلر-اویلر برای بررسی جریان.....	۳۰
شکل ۲-۲. دیدگاه لاغرانژی برای بررسی جریان.....	۳۰
شکل ۲-۳. الگوریتم حل معادلات توسط نرم افزار CFX .....	۳۷
شکل ۳-۱. نمایش بخش چرخان.....	۴۳
شکل ۳-۲. محدوده مورد بررسی توسط نرم افزار .....	۴۴
شکل ۳-۳. انواع شبکه های قابل قبول در نرم افزار CFX .....	۴۴
شکل ۳-۴. بررسی استقلال از مش توسط پارامتر فشار.....	۴۵
شکل ۳-۵. مش بندی مدل .....	۴۶
شکل ۳-۶. تعیین شرایط مرزی برای حالت خشک و دوفازی در سرعت چرخش $1000\text{ rpm}$ .....	۵۰
شکل ۴-۱. مسیر جریان گاز را در حالت خشک با سرعت چرخشی $1000$ دور بر دقیقه بوسیله بردارهای سرعت.....	۵۵
شکل ۴-۲. کانتورهای فشار در حالت خشک با سرعت چرخشی $1000$ دور بر دقیقه .....	۵۶
شکل ۴-۳. مقایسه افت فشار خشک از طریق CFD با داده های تجربی در سرعت چرخشی .....	

۵۸	..... شکل ۴-۴. شب منحنی های CFD و تجربی برای مقادیر افت فشار خشک در سرعت چرخشی ۱۰۰۰ rpm
۵۹	..... شکل ۴-۵. تاثیر سرعت چرخشی بر روی پارامتر افت فشار خشک.
۶۰	..... شکل ۴-۶. تاثیر سرعت چرخشی بر روی پارامتر افت فشار خشک در مقیاس لگاریتمی.
۶۱	..... شکل ۴-۷. بردارهای سرعت گاز در حالت دو فازی با سرعت چرخشی ۱۰۰۰ دور بر دقیقه.
۶۲	..... شکل ۴-۸. بردارهای سرعت مایع در حالت دو فازی با سرعت چرخشی ۱۰۰۰ دور بر دقیقه.
۶۳	..... شکل ۴-۹. جزء حجمی آب درون مدل برای سیستم آب و هوا در سرعت چرخشی 1000rpm
۶۴	..... شکل ۴-۱۰. جزء حجمی هوا درون مدل برای سیستم آب و هوا در سرعت چرخشی 1000rpm
۶۵	..... شکل ۴-۱۱. نمایش جریان متقابل گاز و مایع در سرعت چرخشی ۱۰۰۰ دور بر دقیقه.
۶۶	..... شکل ۴-۱۲. کانتورهای فشار را در حالت دو فازی با سرعت چرخشی ۱۰۰۰ دور بر دقیقه.
۶۷	..... شکل ۴-۱۳. مقایسه تغییرات افت فشار دو فازی از طریق CFD با داده های تجربی در شدت جریان مایع ۰/۶ کیلوگرم بر دقیقه و سرعت چرخش ۱۰۰۰rpm
۶۸	..... شکل ۴-۱۴. مقایسه تغییرات افت فشار دو فازی از طریق CFD با داده های تجربی در شدت جریان مایع ۰/۹ کیلوگرم بر دقیقه و سرعت چرخش ۱۰۰۰rpm
۶۹	..... شکل ۴-۱۵. مقایسه تغییرات افت فشار دو فازی از طریق CFD با داده های تجربی در شدت جریان مایع ۱/۵ کیلوگرم بر دقیقه و سرعت چرخش ۱۰۰۰rpm
۷۰	..... شکل ۴-۱۶. تاثیر سرعت چرخشی بر روی پارامتر افت فشار دو فازی در شدت جریان مایع ۰/۹.(kg/min)
۷۱	..... شکل ۴-۱۷. تعیین محدوده طغیان بوسیله عدد $F_{RLG}$ در سرعت چرخشی ۱۰۰۰ دور بر دقیقه.
۷۲	..... شکل ۴-۱۸. نمودار SLE جهت مقایسه مقادیر تجربی و CFD برای برج SCC در مقیاس پایلوٹ با سرعت چرخشی ۱۰۰۰ دور بر دقیقه.
۷۳	..... شکل ۴-۱۹. بررسی، بارگذاری طغیان در برج SCC با مقیاس ها و سرعت چرخشی های متفاوت....

## فهرست علائم

علامت	نشانه
$A_{mhn}(m^2)$	سطح مقطع بحرانی جریان گاز
$A_{LF}(m^2)$	سطح مقطع جریان مایع پیوسته
$A(m^2)$	سطح مقطع ذره کروی
$B(N)$	نیروی جاذبه
B	پارامتر فاصله
$C_{LG}$	ضریب نیروی پسا در فصل مشترک
$C_\mu$	ضریب ثابت
$C_D$	ضریب کلی نیروی پسا
$C_{GL}$	ضریب نیروی پسا در فصل مشترک
$d_p(m)$	قطر ذرات مایع
Eo	عدد آتووس
E	متوسط خطای نسبی
$F(N/m^3)$	نیروی پسا
$\bar{G}(kg/s)$	شدت جرمی گاز
$g(m/s^2)$	شتاب جاذبه زمین
$G(kg/m^2 s)$	شدت جرمی گاز بر حسب واحد سطح

پارامتر وابسته به گرانروی موثر	H
پارامتر وابسته به گرانروی موثر	J
گرانروی توده	$K(kg / m^3)$
انرژی سینتیک اغتشاش	$k(J)$
شدت چرمی مایع بر حسب واحد سطح	$L(kg / m^2 s)$
شدت چرمی مایع	$\bar{L}(kg / s)$
عدد مورتون	M
تعداد مراحل برج	N
ارتفاع سینی(فاصله بین دو سینی ثابت متواالی یا دو سینی متحرک متواالی)	$P_C$ یا Pitch(m)
فشار	P(Pa)
افت فشار یک مرحله	$\Delta P_{stage} (Pa)$
افت فشار کل برج	$\Delta P_t (Pa)$
افت فشار برج	$\Delta p (Pa)$
شدت جریان حجمی	$Q(m^3 / s)$
واحد سرعت چرخشی	rpm(round/min)
شعاع داخلی سینی چرخان	$R_{SI} (m)$
شعاع خارجی سینی چرخان	$R_{SO} (m)$
شعاع داخلی سینی ثابت	$R_{FI} (m)$
شعاع داخلی برج	$R_C (m)$
شعاع محور چرخان(شفت)	$R_S (m)$
فاصله شعاعی در امتداد سطح سینی	r(m)
شعاع هیدرولیکی	$R_H (m)$

زمان	$t(s)$
سرعت حد ذرات مایع	$U_T(m/s)$
بردار سرعت	$U(m/s)$
سرعت حقیقی	$U(m/s)$
سرعت مایع	$U_L(m/s)$
سرعت گاز	$U_G(m/s)$
حجم اشغال شده توسط فاز مایع	$V_L(m^3)$
حجم اشغال شده توسط فاز گاز	$V_G(m^3)$
سرعت	$V(m/s)$
پارامتر جریان	X
پارامتر ظرفیت	Y
چگالی سیال	$\rho(kg/m^3)$
جزء حجمی فاز $\alpha$	$\gamma_\alpha$
تانسور تنش	$\tau(N/m^2)$
گرانزوی موثر سیال	$\mu_e(kg/m.s)$
گرانزوی ملکولی	$\mu(kg/m.s)$
کشش سطحی	$\sigma(N/m)$
تانسور شاخص	$\delta$
گرانزوی ملکولی آب	$\mu_{ref}(kg/m.s)$
سرعت چرخشی بخش چرخان	$\omega_{rotor}(rpm)$
ویسکوزیته سینماتیکی	$\nu(m/s^2)$
زاویه‌ای است که مخروط با دیواره قائم می‌سازد	$\theta$
مشخصه شعاعی بدون بعد	$\eta$

دانسیته بخار	$\rho_G(kg / m^3)$
دانسیته مایع	$\rho_L(kg / m^3)$
گرانروی آشفتگی	$\mu_T (kg / m.s)$

## فصل اول

# مقدمه ای بر برجهای تقطیر با سینی مخروطی (Spinning Cone Distillation Columns) چرخان

## ۱-۱- مقدمه

عملیات جداسازی یکی از مهمترین فرایندهایی است که در یک مجموعه شیمیایی انجام می‌گیرد. یکی از مهمترین روش‌های جداسازی عملیات تقطیر می‌باشد. تقطیر براحتی در دما و فشار مناسب انجام پذیر است و براحتی بصورت چند مرحله‌ای در می‌آید. در عملیات تقطیر جداسازی براساس فاریت نسبی اجزاء می‌باشد. برجهای تقطیر در حالت کلی به دو نوع سینی دار و آکنده تقسیم می‌شوند. یکی از انواع برجهای تقطیر سینی دار، برج تقطیر با سینی‌های مخروطی چرخان<sup>۱</sup> (SCC) می‌باشد که در این تحقیق مورد بررسی قرار می‌گیرد. در این فصل به بررسی عناوینی از قبیل: کاربردهای برج SCC، بررسی جریان گاز و مایع، تاریخچه، مکانیزم‌های فیزیکی جریان گاز و مایع در برج SCC، رژیم‌های جریان، افت فشار، نمودارهای SLE-(Sherwood-Leva-)، بررسی اثر چرخش بر روی پارامتر افت فشار، تعیین الگوی جریان و در نهایت نتیجه‌گیری می‌پردازیم.

## ۲-۱- کاربردهای برج SCC

این برج یک وسیله تقطیر جدید در صنایع غذایی برای جداسازی اجزاء فرار از مایع و ذرات معلق می‌باشد که در حال حاضر توسعه کاربردهای تجاری آن رو به افزایش است<sup>[۱]</sup>. طراحی برجهای SCC کنونی در حد زیادی براساس فرایندهای تجربی می‌باشد<sup>[۲]</sup>.

بدلیل قابلیت‌های چند منظوره این برج، می‌توان از آن در صنایع نفتی و پتروشیمی در آینده استفاده کرد<sup>[۳]</sup>. ساختار ویژه برجهای SCC باعث شده است که این برج‌ها جهت جداسازی در محدوده وسیعی از مواد مختلف قابل استفاده باشند. این محدوده شامل مایعات رقیقی مثل قهوه یا چای تا محلول‌های گرانزوی مثل عسل، محلول پوره مركبات و حتی دوغاب مواد آسیاب شده ای مثل پوست مركبات می‌باشد. از این رو SCC در بازیافت طعم دهنده‌های مواد غذایی از قبیل عصاره سیب، توت فرنگی، انبه، کیوی، قهوه، گوجه فرنگی، هویج و در دیگر موارد مثل بی‌بو کردن یا بو زدایی شیر، روغن نخل، روغن ماهی، الكل زدایی، گند زدایی، حذف رنگ و مواد فاسد کننده

<sup>۱</sup> Spinning Cone Column

مواد غذایی کاربرد دارد. این برجها برای عملیات در خلاء مناسب می باشند و با توجه به اینکه عصاره مواد غذایی در دمای بالا ممکن است آسیب ببیند، لذا استفاده از این برج می تواند مفید واقع شود. در واقع کاربرد اصلی این گونه برجها در صنایع غذایی است [۴].

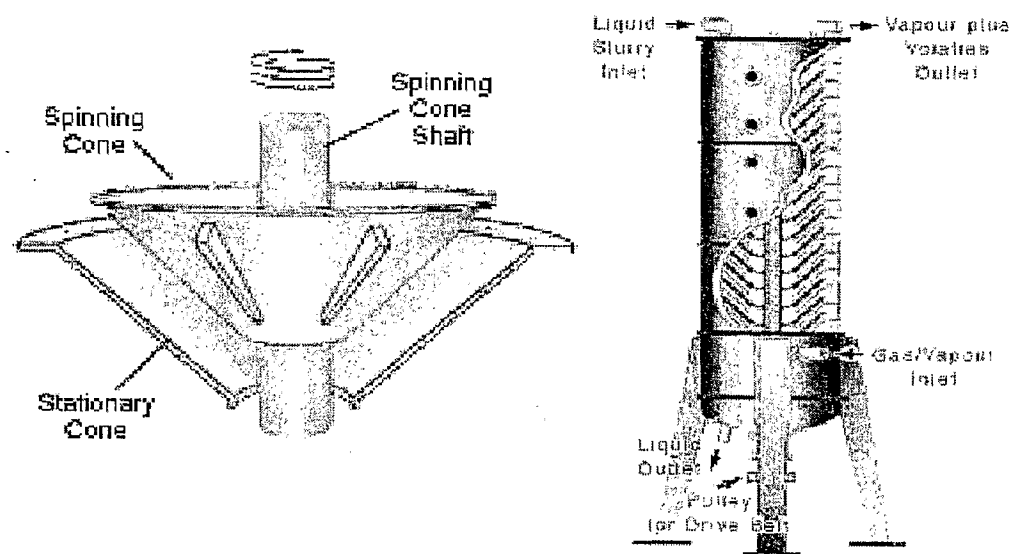
مزایای SCC در مقایسه با برج های سنتی عبارتند از [۵]:

- ۱- کاهش ماندگی مایع
- ۲- زمان کوتاه اقامت مایع
- ۳- کاهش افت فشار
- ۴- بازده جداسازی بالا
- ۵- قابلیت چند مرحله ای خوب
- ۶- توانایی داشتن برای هدایت مایعات با ذرات جامد معلق با نسبت بالا.
- ۷- برج های تقطیر SCC برای عملیات خلاء نیز خصوصا مناسب میباشد. از این رو برای بازیافت اسانس مواد خوراکی از قبیل آب سیب، توت فرنگی، انبه، کیوی، قهوه، گوجه فرنگی، هویج و سایر موارد کاربرد دارد.  
معایب برج SCC عبارتند از [۵]:
  - ۱- پیچیدگی مکانیکی و هزینه بالا
  - ۲- در مقایسه با برج های آکنده در راه اندازی مجدد، دارای پایداری مشکل تری است.

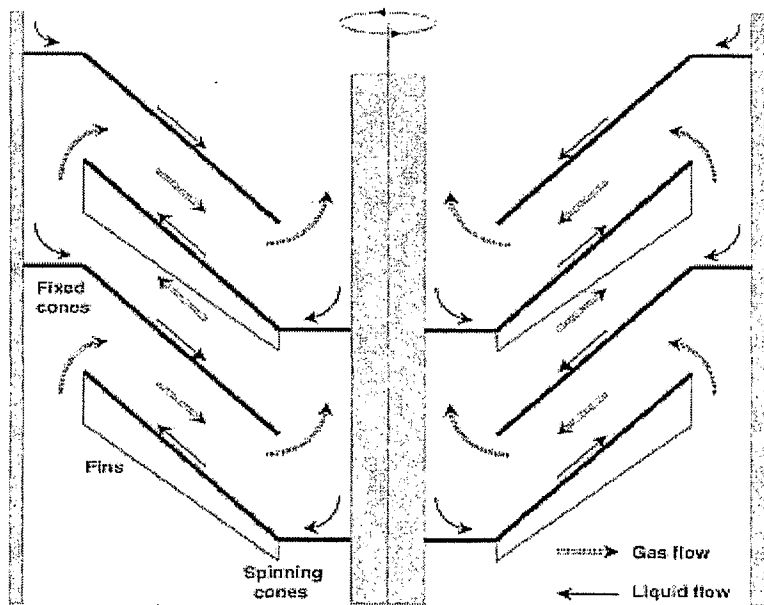
### ۱-۳- بررسی جریان گاز و مایع

برج SCC یک دستگاه مجاور کننده گاز- مایع است که توسط آن برخی از فرایندهای جداسازی صورت می گیرد. جریان گاز و مایع در داخل برج بصورت متقابل می باشد که در آن گاز از پایین برج وارد شده و پس از عبور از منافذ مخصوص از بالای برج خارج می شود. مایع نیز از بالای برج وارد شده و پس از عبور از روی سینی ها، از پایین برج خارج می شود. سینی های این برج برخلاف سینی های دیگر برجهای تقطیر بصورت مخروطهای ثابت و مخروطهای متحرک می باشند. مخروطهای ثابت به دیواره و سینی های متحرک به محور وسط متصلند و محور وسط نیز به یک موتور متصل است و نیروی گردشی خود را از آن تامین می کند. شکل (۱-۱) نمای کلی این نوع

برجهای را به همراه سینی‌های ثابت و چرخان نشان می‌دهد [۱]. شکل (۲-۱) جریان گاز و مایع بر روی سینی‌های برج نشان می‌دهد.



شکل ۱-۱. نمای کلی برج SCC و سینی‌های آن [۱].



شکل ۱-۲. بخشی از مسیر جریان گاز و مایع در برج SCC [۲].

سطح بالای سینی های ثابت و چرخان بوسیله یک لایه نازک از فیلم مایع خیس می شود[۶]. به علت اثر نیروی گریز از مرکز، مایع موجود بر روی سطح سینی های متحرک بسمت بالا حرکت می کند و در نهایت با رسیدن به لبه مخروط متحرک از آن سازیر می شود و بعلت نیروی ثقل بسمت پایین حرکت می کند. در هنگامی که مایع بر روی مخروط ثابت در حال حرکت به سمت پایین است گاز یا بخار ورودی به برج در حین عبور از سینی ها در تماس با مایع قرار گرفته، انتقال جرم صورت می گیرد[۱]. انتقال جرم از فاز مایع به بخار در برج SCC از طریق سطح وسیعی از فیلم مایع(که ممکن است کمتر از یک میلی متر ضخامت داشته باشد) و از طریق پراکندگی مایع در نواحی بین سینی های چرخان و ثابت رخ می دهد[۷]. ضخامت لایه مایع و شکل سطح آن، پارامترهای کلیدی موثر بر انتقال جرم و انتقال اندازه حرکت می باشد[۸].

#### ۱-۴- تاریخچه

اولین برج با مخروط چرخان توسط Pegram و همکارانش در سال ۱۹۳۶ مورد بررسی و تحقیق قرار گرفت. این برج شامل جریان متقابل مایع- بخار بود که در داخل آن سینی های مخروطی شکل متحرک و ثابت قرار داشتند. حرکت مایع از بالا به پایین بود که موجب ترشدن سطوح بالایی سینی ها می شد و بخار خروجی از جوش آور نیز بصورت متقطع در فضای بین سینی های ثابت و متحرک حرکت می کرد[۴].

تأثیر و کارایی این نوع برجها بوسیله Urey و Huffman در سال ۱۹۳۷ برای تولید آب سنگین مورد بررسی قرار گرفت. علاقه به این واحدها باعث شد که مقالاتی توسط Ziolowski در مورد عملکرد این برجها و همچنین جداسازی مخلوط بنزن - تراکلرید کربن با استفاده از SCC انتشار یابد[۳].

در طول توسعه SCC برای عملیات بازیافت اسانس، Casimir طراحی اولیه را با قرار دادن فین های شعاعی در قسمت زیری مخروط چرخان اصلاح کرد[۹].

در طول سالهای اخیر تحقیقات دیگری هم بر روی این برجها صورت گرفته است. از آن جمله در سال ۱۹۸۹ Menzi عملکرد و کارایی یک SCC شامل ۳۰ سینی و یک برج دارای ۷ سینی از نوع Bubble cap با ابعاد یکسان را با هم مقایسه کرد. پس از بررسی های مختلف او دریافت که برجهای SCC بطور اساسی بهتر از برجهای